

## II-30 大型ポンツーンの運動に関する研究

東洋大学 正員 本間 仁  
○ 東洋大学 正員 萩原国宏

[1] はじめに 本実験で考えたポンツーンの形状は図-1に示した様に円筒状の浮子の相互間を剛な構造をもつ板で結合したものである。したがってここで考えているポンツーンの運動は剛体運動である。模型の各ディメシヨンは表-1のようになっておりモデルは3種類考えている。模型の運動を追跡するためには、板の両端より水糸で、やわらかい板バネに結びつけ、ポンツーンの運動を板バネの変位により記録せよ事にした。又横方向の変位を同一地点より水平方向にみて板バネ(こじはがなり硬い)に支持させ、その変位より運動を追跡することにした。こじはの

出力及び波高計(入射波測定用)の出力を合せてアノ書きレコーダーに記録せよと去をとった。

[2] ポンツーンの固有振動 このポンツーンの振動系としては鉛直、回転、水平の3方向を考える。ゆいれもあるがここでは他に比べて微少であるので考えない。この場合のバネに相当するものとしては、支持している板バネ(現地ではアンカー用ワイヤー)と浮体の浮況に伴う浮力の増減によるバネとが考えられる。板バネの長さは浮力の半分に比べて小さいとする。鉛直及び回転の固有振動周期Tは(1)式のごとくなる。

$$T_y = \frac{2\pi}{\sqrt{\frac{4wA_0}{M}}} , T_\theta = \frac{2\pi}{\sqrt{\frac{4wA_0l_0(\frac{l_0}{T}-a)}{I}}} \quad (1)$$

ここで、Mは付加質量を含めたポンツーンの質量、wは水の単位重量、Iは回転のまわりの慣性モーメント、Tは水中体積( $= 4A_0l_0$ )、aは浮心と重心の距離、 $A_0$ は円筒の断面積、 $l_0$ は円筒の水中部の長さを示す。これらに模型の各ディメシヨンを入めて計算した値と、模型を実際に振動させて実験したDαより求めた値を表-1に記してある。なお同表中には模型実験での固有振動の減衰比βの値も書いてある。 $w$ の実験と計算での差の主たる

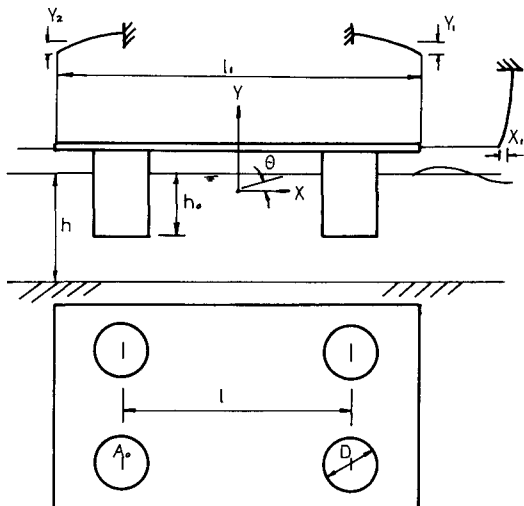


Fig. 1

	1	2	3
D cm	8	10	14
M g	5280	5030	5170
A <sub>0</sub> cm <sup>2</sup>	50.27	78.53	153.94
l <sub>0</sub> cm	60		
l cm	80		
h cm	26.26	16.01	8.39
W. y <sub>計</sub>	6.11	7.82	10.81
W. θ <sub>計</sub>	6.28	7.80	10.71
W. y <sub>実</sub>	5.43	6.97	14.09
W. θ <sub>実</sub>	5.53	6.25	15.63
β	0.0079	0.0063	0.0032

Tab. 1

原因は付加質量の差と板バネのバネ定数の把握が明確でない事に起因してい。る。

### [3] 波によるポンツー上の運動

実験に使用した波は高さ-2の4種で、うちうち波高を3種づつ変えてい。る。これらの波が構造物に作用した場合の $y_1$ ,  $y_2$ ,  $\theta$ の各変位と時間の関係を。

一周期につけていた

1つ整理(具体的には

3~5波の合成)1つ

みた内の代表的なもの

が図-2の3枚のその

である。図2-1と2

-3のものは $y_1$ と $y_2$ が

ほぼ同じ動きをしてお

り、図2-2のものは

$y_1$ と $y_2$ がうちやね

った動きをしてい。る。

図2-3のみ $y_2$ の動きが

逆になってしま。る。こち

らの結果よりポンツー

の重心の鉛直方向の

運動と、ポンツーの

回転運動におすすめを

考える。図-1グラフ

見てごとく、

$$y = \frac{y_1 + y_2}{2}$$

(2)

$$\theta = \frac{y_1 - y_2}{L_1}$$

でえら。る。但し $\theta$

は小さ。い。てい。る。

このように1つ、ポン

ツーの重心の鉛直運

動及び回転を、図-2

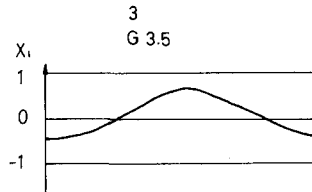


Fig. 2-3

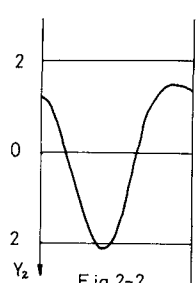
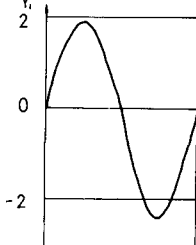
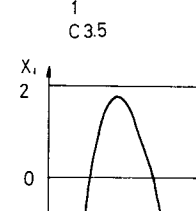
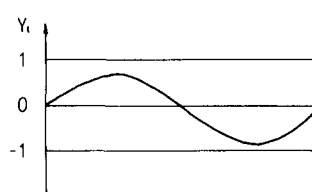


Fig. 2-2

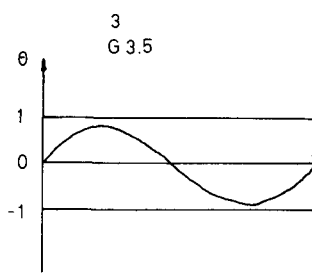


Fig. 3-3

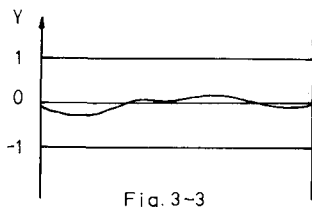
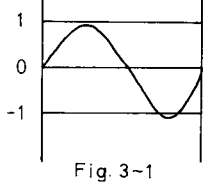
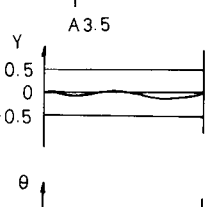
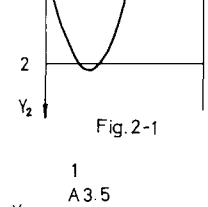
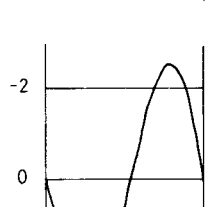
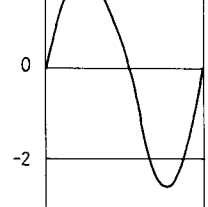
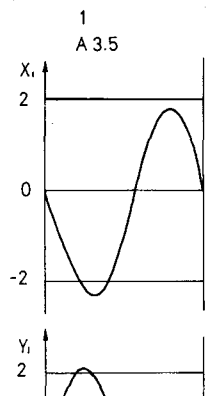


Fig. 3-1

	A	C	E	G
T sec	0.57	0.85	1.33	2.10
L cm	55	103	182	316
w	11.02	7.39	4.72	2.99

Tab. 2



3. 図3-2では $\theta$ と $y$ を共に $\theta$ なりの値を示している。このような関係がでてくるのは板長 $L$ と波長 $\lambda$ との関係で決まってくる。図3-1では $L \ll \lambda$ であり、図3-3では $L \gg \lambda$ である。このヤンツーの理論解析によると、 $y$ と $\theta$ の関係 $y$ との関係は次式のようになる事が判つていい。

$$y \propto \cos \frac{\pi l}{L}, \quad \theta \propto \frac{1}{L} \sin \frac{\pi l}{L} \quad (3)$$

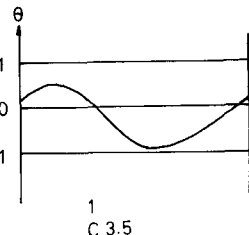


Fig. 3-2

すなはち図3-1では $L \ll \lambda$ のために $\sin \frac{\pi l}{L} \approx 0$ となり、 $\cos \frac{\pi l}{L} \approx 1$ となる事を示していい。又図3-3では $L \gg \lambda$ であって $\lambda/L$ の項がきいて $\theta \approx 0$ となる事が判る。 $\cos \frac{\pi l}{L} \approx 0$ となる Case は図3-2で“あるが”。この場合 $\theta/L = 0.583$ であって完全にこの条件を満たしていないので、 $y$ 、 $\theta$ も残つていい。しかし、このような傾向がある事は判る。

このようなアクリーの他に、この運動を最も直接的に支配するものは波高 $H$ であると考えられる。そこで波高 $H$ と船直運動の複振幅 $y$ との関係及び、波形勾配 $H/L$ と $\theta$ との関係をプロットしたのが図4である。この両図とも振動系の応答と1つの修正はしていないので $H \sim y$ 、 $\theta \sim H/L$ との間に強い相関性はみられない。しかしながら模型の浮子の直径の大小による相違は出ていると思われる。模型質量はほぼ同じように作られてるので、太いものは浅く、細いものは深く沈んでおりついでいるわけである。したがって太いものは高波浪の影響を受けている事が考えられる。事実、図4-1、4-2で三角印の黒点は他のものに比べて上の方にある事がある。しかし、カカリの散乱のあとのものは、波の周期の長い Case を含むせよ、一緒に書いたために、このヤンツーの固有振動系と波との共振関係につ

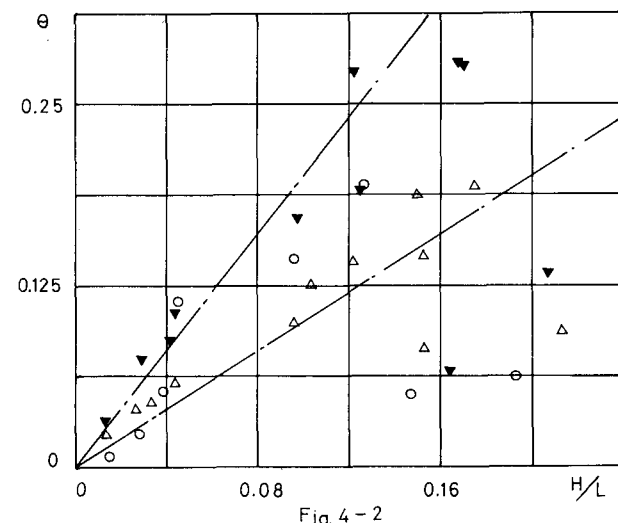


Fig. 4-2

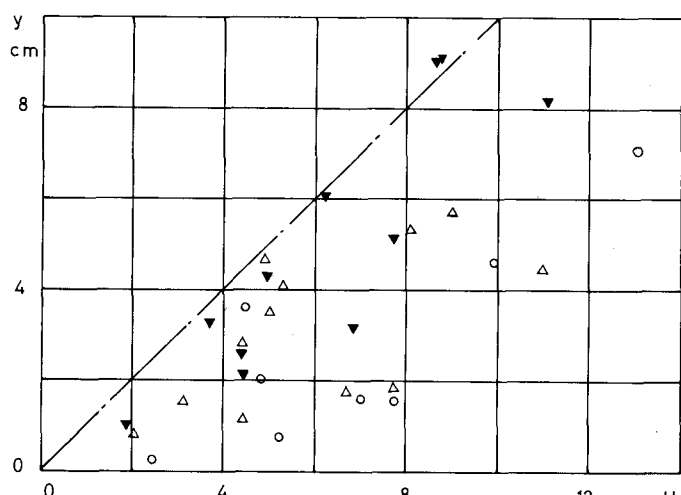


Fig. 4-1

以上の影響が無視されていいためと  $\gamma/\cos \frac{\pi}{2}$  考えらる。

図 ボンツーの振動系の応答について。実験の波の周期  $T$  とボンツーの固有振動系の固有周期  $T_0$  の関係で、以下に一般的な振動応答系の問題と考えることができる。そこで  $T/T_0 = \omega/\omega_0$  とし、 $\theta$  との関係を求めてみる。ただこの場合に、前にも記したごとく、波長  $\lambda$  と板長  $L$  との間に  $(3)$  式のような関係があるので、純粹に  $T/T_0$  との関係をみるとためには、 $\theta/\cos \frac{\pi \theta}{L}$ ,  $\theta/\sin \frac{\pi \theta}{L}$  の形にした方がより考えらる。

ここで実験値より、これらを計算し、 $T/T_0$  との関係でプロットしたのが図  $5-1$  である。以下にこの方が共振曲線を示すことをなるが、図からも明らかのように黒点の示す太い模型のものは他の二つより大きな値をとっている。この事は一、二の減衰比  $\beta$  の値が他の模型に比べて約  $1/2$  になっている事から理解できる。

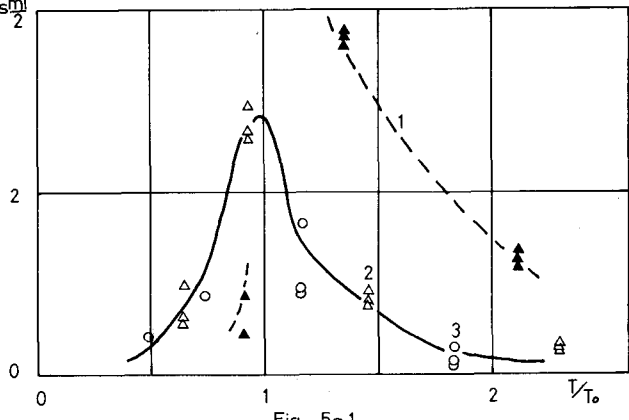


Fig. 5-1

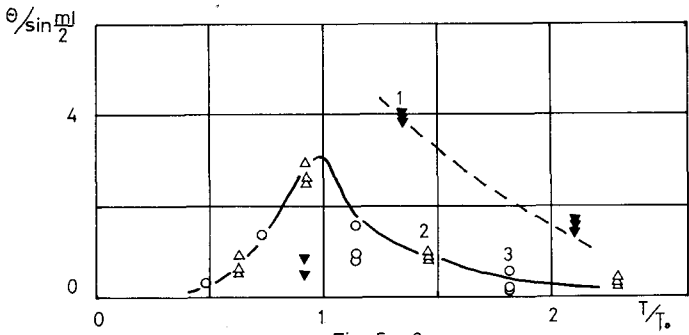


Fig. 5-2

[5] まとめ 円筒形浮子をもつボンツーの波に対する応答を調べる実験をして、おおよそ次のようないわゆる事が判った。  
 ① 同一質量をもつ構造では浮子の直径が小さく、深さ所まで入っていふ場合の方が太くて浅い場合より波の応答は悪く、したがって運動も小さくなる可能性がある。  
 ② 板長  $L$  と波長  $\lambda$  との関係で、上下運動ばかり卓越する場合と回転ばかり卓越する場合が生じてくる。一般には  $L$  に比べて大きめの場合は、それよりやがて相対する関係にある。  
 ③ 模型実験では偶然、鉛直運動の固有周期と回転運動の固有周期がほぼ同じ値を示すことがある。  
 ④ 本レギオートでは鉛直方向の運動とは他に比べて小さいため解析を示さなかつたが、この値もかなり興味があるるので今後つづけて解析をする予定である。  
 ⑤ 今後の問題としては計算値の  $T_0$  と模型実験の  $T$  の差、何加質量の大きさを解明すること、この運動に関するこの理論解析を行ない実験値と比較して、このような場合にはどのような外力（波力）が支配的かを求めるべきである。

なお本レポートに使用した実験データは昭和45年夏東洋大学卒業生、青柳進（菊池建設、小笠原）君の卒業研究のものと使用しました。

① 理論解析は本年度の海岸工学講義会に發表予定である。